

Harris 公式和 *ab* 公式对超形变核转动带的适用性的比较 *

胡佐贤 曾谨言

(北京大学物理系 北京 100871)

摘要 对 $A \approx 190$ 区超变形转动带分别用 Harris 二参数公式和 *ab* 公式进行了系统分析。分析结果表明, 与正常变形核转动带的情况相似, Harris 公式与实验有明显的系统偏离, 而 *ab* 公式则与实验很接近, 可以相当精确和方便地描述超变形转动带。

关键词 超变形核转动带 Harris 公式 *ab* 公式

自从首例超变形(SD)核转动带发现^[1]以来的十年中, 在 $A \approx 190, 150, 130$ 和 80 等核区已发现了大量的超变形转动带。过去在描述正常变形(ND)核转动谱时曾经提出过一些有用的公式。本文将分析它们对于 SD 带是否仍然适用, 并对它们的优劣进行比较。

基于对称性的考虑, Bohr 和 Mottelson^[2]曾经给出轴对称变形核转动谱的角动量 $I(I+1)$ 展开式($K=0$ 带)

$$E(\xi) = A\xi^2 + B\xi^4 + C\xi^6 + D\xi^8 + \dots, \quad (\xi = \sqrt{I(I+1)}) \quad (1)$$

对于 $K \neq 0$ 带, 除带首能量外, 只须将上式中 ξ^2 代之为 $I(I+1) - K^2$ 。分析结果表明, 上述公式能相当好地描述正常变形核的大量转动谱($K=1/2$ 带除外), 而且收敛性也很满意($|B/A| \approx 10^{-3}, |C/A| \approx 10^{-6}, |D/A| \approx 10^{-9}$ 等)。对于超变形转动带, 收敛性还有待进一步改进^[3]($|B/A| \approx 10^{-4}, |C/A| \approx 10^{-8}$ 等)。

转动谱的另一种描述是基于推转壳模型的 Harris 的角频率 ω^2 展开^[4]
($\omega = \partial E / \partial I_x$ 为转动角频率),

$$E(\omega) = \alpha\omega^2 + \beta\omega^4 + \gamma\omega^6 + \delta\omega^8 + \dots, \quad (2)$$

Bohr 与 Mottelson 曾经提到^[2], ω^2 展开的收敛性优于 $I(I+1)$ 展开。特别是 Harris 的二参数展开式

$$E(\omega) = \alpha\omega^2 + \beta\omega^4 \quad (3)$$

就可以相当好地描述正常变形核的转动谱。Klein 等还证明, Harris 的二参数展开与可变

1997-04-22 收稿

* 国家自然科学基金资助(19675002号)

转动惯量模型等价^[5]. 所以在 70 年代以后的高自旋核态的实验分析和理论研究中, 公式(3)被广泛应用. Bohr 与 Mottelson 还指出^[2], 如果 Harris 二参数公式成立, 则展开式(1)中的系数只有两个是独立的, 从而得出

$$C / A = 4(B / A)^2, \quad (D / A) = 24(B / A)^3,$$

即:

$$C / 4(B^2 / A) = 1, \quad D / 24(B^3 / A^2) = 1. \quad (4)$$

70 年代的实验数据分析似乎支持上述关系^[2].

Peker 等^[6]用 Harris ω^2 展开公式对锕系变形核转动带(自旋已高达 $\sim 30\hbar$)进行了系统分析. 他们根据每一对 γ 射线能量, $E_\gamma(I+2 \rightarrow I)$ 与 $E_\gamma(I \rightarrow I-2)$, 定出公式(3)中的参数 α 和 β . 如果公式(3)能很好地描述转动谱, 则定出的 α 和 β 应与角动量(或角频率)无关. 但分析结果与此相反, 特别是转动惯量参数 $J_0 = 2\alpha$ (见(8)式)随角频率增大而大幅度变化. 这说明公式(3)不能满意地描述正常变形核的高自旋转动谱.

文献[7,8]根据 Bohr 哈密顿量, 对于轴对称度不大($\sin^4 3\gamma \ll 1$)的四极变形核的转动谱, 导出了如下的 ab 公式:

$$E(I) = a[\sqrt{1 + bI(I+1)} - 1]. \quad (5)$$

此公式曾经为 Holmberg 和 Lipas^[9]作为一个经验公式提出. 分析表明, 公式(5)可以很满意地描述稀土区和锕系区正常变形核的大量转动谱. 特别是根据文献[10]的分析, 如二参数公式(5)成立, 则 $I(I+1)$ 展开式中也只有两个系数是独立的, 由此得出

$$C / 4(B^2 / A) = 1 / 2, \quad D / 24(B^3 / A^2) = 5 / 24. \quad (6)$$

而对稀土和锕系偶偶核中有高自旋态的约 30 条转动带的系统分析结果很接近(6)式, 而明显系统偏离 Harris 二参数公式预期的结果(4)式. 这与 Peker 等人所得的结论相一致.

以下就超变形转动带数据, 对 Harris 公式(3)和 ab 公式(5)进行比较. 尽管绝大多数超变形转动带的自旋目前尚未直接测定, 但已有几种确定其自旋的方案提出^[2, 11-15]. 对于 $A \approx 190$ 区, 这些方案所指定的自旋(除极个别转动带外)是彼此一致的. 而且对于实验上已测定自旋的超变形转动带^[16] $^{194}\text{Hg}(1)$ 和^[17] $^{194}\text{Pb}(1)$, 自旋指定与观测结果完全一致. 因此, 这些自旋指定是可信的. 基于这些自旋指定, 本文用 $I(I+1)$ 展开式(1)对 $A \approx 190$ 区所有超变形带进行了分析. 与正常变形转动谱相比, 此时(1)式收敛较快, 系数 D 极小, 很难准确定出. 所以本文采用三参数 $I(I+1)$ 展开式去拟合超变形带 γ 谱, 得出最佳参数 A 、 B 和 C 的值, 然后提取比值

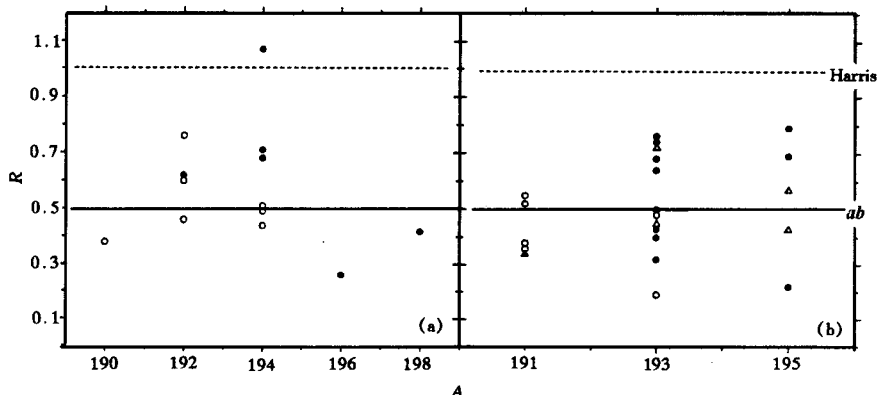
$$R = AC / 4B^2, \quad (7)$$

所得结果见图 1. 可以明显看出, R 值接近于 ab 公式预期值($R = 1 / 2$), 而系统偏离 Harris 公式的预期值($R = 1$).

此外, 仿照 Peker 等人的做法, 分别用 Harris 公式(3)和 ab 公式去拟合超变形带的每一对 γ 射线能量 $E_\gamma(I+2 \rightarrow I)$ 和 $E_\gamma(I \rightarrow I-2)$, ($I = I_0 + 2, I_0 + 4, I_0 + 4 \dots$, I_0 是观测到的最低自旋), 定出参数 α 和 β 或 a 和 b . 然后分析它们是否随角动量(或角频率)变化. 与 Harris 公式(3)相应的运动学和动力学转动惯量分别为

$$J^{(1)} = 2\alpha + \frac{4}{3}\beta\omega^2, \quad J^{(2)} = 2\alpha + 4\beta\omega^2. \quad (8)$$

参数 $J_0 = 2\alpha$ 相当于“带首”转动惯量. 如 Harris 公式(3)成立, 则 2α 应与 ω 无关. 与 ab 公式

图 1 $A \approx 190$ 区超变形核转动带的 R 比值

$R = AC / 4B^2$, A, B 和 C 是转动谱 $I(I+1)$ 展开式中的系数. 按 Harris 二参数公式, $R = 1$. 而按 ab 公式, $R = 1/2$.

(a) 偶偶核: ○ $^{190, 192, 194}\text{Hg}$, ● $^{192, 194, 196, 198}\text{Pb}$,
 (b) 奇 A 核: ○ $^{191, 193}\text{Hg}$, ● $^{193, 195}\text{Pb}$, ■ ^{191}Au , □ $^{193, 195}\text{Tl}$.

(5) 相应的转动惯量公式为

$$\begin{aligned} J^{(1)} &= \frac{\bar{\hbar}^2}{ab} \left[1 + b I(I+1) \right]^{1/2} = \frac{\bar{\hbar}^2}{ab} \left[1 - \frac{\bar{\hbar}^2 \omega^2}{a^2 b} \right]^{-1/2}, \\ J^{(2)} &= \frac{\bar{\hbar}^2}{ab} \left[1 + b I(I+1) \right]^{3/2} = \frac{\bar{\hbar}^2}{ab} \left[1 - \frac{\bar{\hbar}^2 \omega^2}{a^2 b} \right]^{-3/2}. \end{aligned} \quad (9)$$

可以看出, 与 Harris 公式中参数 $J_0 = 2\alpha$ 相应的参数是 $J_0 / \bar{\hbar}^2 = \frac{\bar{\hbar}^2}{ab}$. 在图 2 中给出了几个典型的 SD 带的分析结果, 其它 SD 带的分析结果与此类似. 由图 2 可以清楚看出, 与正常形变核相似, 由 E_γ 实验数据所定出的转动惯量参数 2α 随角频率增大有很大的起伏, 而由 E_γ 实验数据定出的 ab 公式中相应的参数 $\bar{\hbar}^2 / ab$ 却几乎不随角动量改变.

根据上述对 $A \approx 190$ 区超变形转动带的系统分析(图 1 和 2), 可以得出如下结论: 无论对正常变形核转动带, 还是超变形核转动带, Harris 的二参数公式(3)与实验都有明显的系统偏离, 而 ab 公式(5)则很接近实验, 它远优于 Harris 公式, 而且使用起来非常简便. 在推转壳模型理论计算中, 可使用与(5)式等价的能谱公式

$$\begin{aligned} E(\omega) &= a[(1 - \bar{\hbar}^2 \omega^2 / a^2 b)^{-1/2} - 1], \quad (\text{实验室参照系}) \\ E'(\omega) &= a[(1 - \bar{\hbar}^2 \omega^2 / a^2 b)^{-1/2} - 1]. \quad (\text{转动参照系}) \end{aligned} \quad (10)$$

上述分析, 原则上适用于 $A \approx 150, 130$ 和 80 区域的 SD 转动带. 但对于 $A \approx 150$ 区 SD 带, 由于自旋的指定还有争议, 本文暂不讨论. 对于 $A \approx 130$ 和 80 区域的 SD 带, 与中重核和轻核中的 ND 带一样, 转动谱的规律性不如重核中那样好(重要原因可能是绝热近似不够好, 以及带交叉的出现), 给判断和比较转动谱公式的适用性带来一些困难. 有关问题还有待进一步仔细研究.

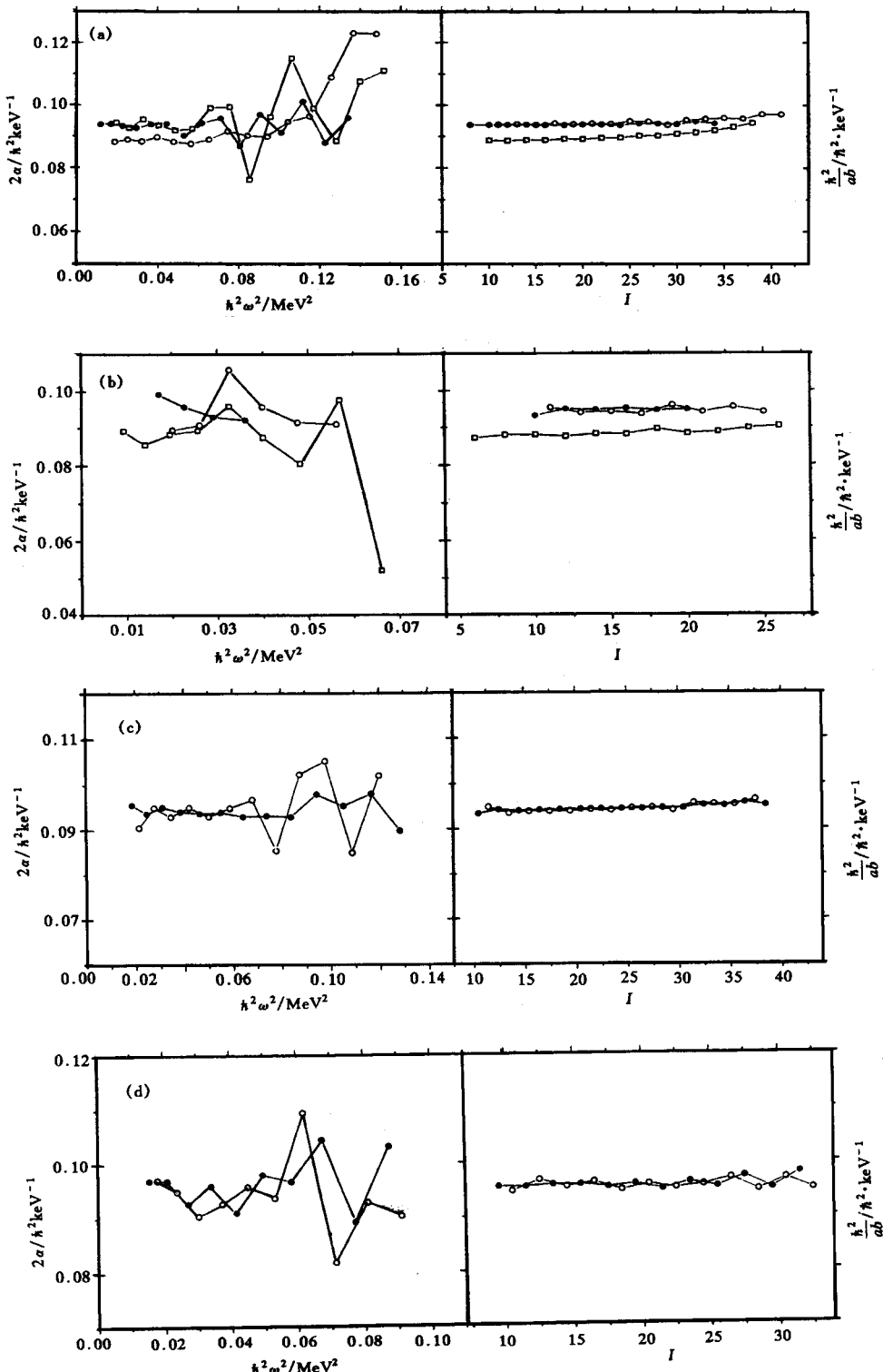


图 2 $A \approx 190$ 区超变形核转动惯量随角频率(或角动量)变化的分析

- (a) 偶偶核 ^{194}Hg : \square $^{194}\text{Hg}(1)$, 晕 SD 带^[16, 18]; \circ $^{194}\text{Hg}(2)$, \bullet $^{194}\text{Hg}(1)$, signature 伴带^[16, 18];
(b) 偶偶核 ^{194}Pb : \square $^{194}\text{Pb}(1)$, 晕 SD 带^[17, 19]; \bullet $^{194}\text{Pb}(2a)$, \circ $^{194}\text{Pb}(2b)$, signature 伴带^[17, 19]; (c) 奇 A 核 ^{191}Hg :
 \bullet $^{191}\text{Hg}(2)$, \circ $^{191}\text{Hg}(3)$, signature 伴带^[20]; (d) 奇 Z 核 ^{193}Tl : \bullet $^{193}\text{Tl}(1)$, \circ $^{193}\text{Tl}(2)$, signature 伴带^[21].

参考文献

- [1] Twin P J et al. Phys. Rev. Lett., 1986, **57**(6):811—814
- [2] Bohr A, Mottelson B R. Nuclear Structure, vol II (1975, Benjamin)
- [3] Becker J A et al. Phys. Rev., 1992, **C46**(3):889—903
- Drapper J E et al. Phys. Rev., 1991, **C42**(1):R179—R184
- [4] Harris S M. Phys. Rev. Lett., 1964, **13**(30):663—665; Phys. Rev., (1965) **138**(3):B509—B516
- [5] Klein A et al. Phys. Lett., 1970, **31B**(6):333—335
- [6] Peker L K et al. Phys. Lett., 1981, **100B**(4):281—284
- [7] Wu Chongshi et al., High Energy Phys. and Nucl. Phys. (in Chinese), 1984, **8**(2):219—226; 1984, **8**(4):445—452
 吴崇试等人, 高能物理与核物理, 1984, **8**(2):219—226; 1984, **8**(4):445—452
- [8] Wu C S Zeng J Y. Commu. Theor. Phys., 1987, **8**:51
- [9] Holmberg P, Lipas P O. Nucl. Phys., 1968, **A117**(3):552—560
- [10] Xu F X, Wu C S, J Y Zeng. Phys. Rev., 1989, **C39**(4):1617—1622
- [11] Xing Zheng et al. High Energy Phys. and Nucl. Phys. (in Chinese), 1991, **15**(12):1094—1099
 邢 正等人, 高能物理与核物理, 1991, **15**(12):1094—1099
- [12] Zeng J Y et al. Phys. Rev., 1991, **C44**(5):R1745—R1748;
 Wu C S et al. Phys. Rev., 1992, **C45**(1):261—274
- [13] Piepenbring, R, Protasov K V. Z. Phys., 1993, **A345**(1):7—11
- [14] Xu Fuxing, Hu Jimin. Phys. Rev., 1994, **C49**(3):1449—1453
- [15] Zeng J Y et al. Commu. Theor. Phys., 1995, **24**:125
- [16] Khoo T L et al. Phys. Rev. Lett., 1996, **76**(4):1583—1586
- [17] Brinkman M J et al. Phys. Rev., 1996, **C53**:R1461—R1464
- [18] Cederwall B et al. Phys. Rev. Lett., 1994, **72**:3180—3188
- [19] Hugher J R et al. Phys. Rev., 1994, **C50**(3):R1265—R1271
- [20] Carpenter M P et al. Phys. Rev., 1995, **C51**(5):2400—2405
- [21] Bouneau S et al. Phys. Rev., 1996, **C53**(1):R9—R13

Comparison Between the Harris and ab Expressions for the Description of Nuclear Superdeformed Rotational Bands*

Hu Zuoxian Zeng Jinyan

(Department of Physics, Peking University, Beijing 100871)

Abstract The superdeformed rotational bands in the $A \approx 190$ region are systematically analyzed using the Harris two-parameter formula and the ab expression, respectively. Similar to the situations in normally deformed nuclei, there exist obvious and systematic deviation of Harris formula from the experiments. In contrast, the prediction of ab formula is very close to experiments, and can be conveniently used for the description of nuclear superdeformed bands.

Key words superdeformed rotational band, Harris expression, ab formula

Received 22 April 1997

* Supported by the National Natural Science Foundation of China 19675002